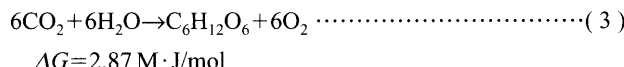


源を算出する。次に栄養源の消費と供給バランスから、次ステップの速度定数を決定する。尚、栄養源供給方式としては、連続供給方式で検討した。計算の時間の最小単位としては1日を用いた。計算シミュレーションフローをFig. 1に示し、前提となるスラグ組成をTable 1に示す。

2.4 光合成利用効率制約について

シミュレーションを実施するにあたり、増殖速度の上限値を設定するため、光合成による理論限界を把握しておく必要がある。代表値として、日本の直達日射量は $15.5 \text{ M} \cdot \text{J/m}^2/\text{d}$ を用い、以下の光合成反応により



CO_2 1モルあたりでは $2.87/6 = 0.48 \text{ M} \cdot \text{J/mol}$

$$15.5/0.48 = 32.4 \text{ mol/m}^2/\text{d}$$

$$32.4 \times 44 = 1428 \text{ g-CO}_2/\text{m}^2/\text{d}$$

光合成エネルギー変換効率 = 0.26 (太陽光の平均波長550 nmに対応する数値)、太陽光中の光合成利用可能波長は全太陽エネルギー中約45%とすると、総合変換効率は10~12%となる。従って、 CO_2 固定量は $143\sim171 \text{ g-CO}^2/\text{m}^2/\text{d}$ となり、これを上限値とした。

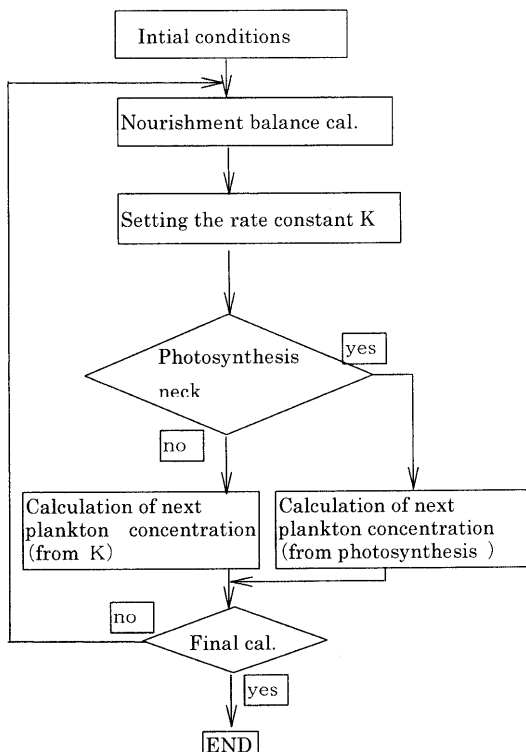


Fig. 1. Calculation flow.

2.5 検討ケース

対象成分としてN, Si, P, Feの4元素について、太陽光によるプランクトンどうしの相互干渉を考慮しないケースと、考慮するケース2ケースで検討した。相互干渉を考慮するケースについては、プランクトン濃度が $100 \mu\text{g}/\text{dm}^3$ まで培養すると、成長と沈降がバランスし、定常状態が形成されると仮定した。

2.6 スラグ散布費用の算出方法

スラグ散布に要する主な費用を以下示した。

(1) 発生事業所内事前加工コスト

- ・粒度調整費
- ・比重調整費

(2) 陸上輸送費

- ・輸送費
- ・船積み費

(3) 海上輸送費

・往路輸送費

- ・散布費（主に時間で評価）
- ・復路輸送費

各算出項目はTable 2, 3に示した前提にもとづいて算出した。

2.7 総合コスト算出の考え方

スラグ散布にあたりそのコストは散布時間に大きく依存する。そのためTable 4, 5, 6に示した種々の散布の条件にもとづきコスト計算を行った。

3. 結果および考察

3.1 増殖シミュレーションによる投入方法の最適化

一次反応モデルを用い、反応速度定数を用いて、プランクトンの増殖挙動をシミュレートした結果をFig. 2, 3に示す。

Fig. 2には、太陽光に関する相互干渉を考慮しない仮想的なケースの結果を示したが、栄養源濃化が進行するとともに、プランクトンは幾何級数的に増殖し、それに伴い次第に栄養源が減少していく。栄養素が消費され尽くすと、増殖は停滞し、栄養素の蓄積後、再び増殖を開始。その繰り返しとなる。供給速度が充分大きい場合には、増殖／停滞の振幅が大きくなり、その上限は光合成ネック($143\sim171 \text{ g-CO}^2/\text{m}^2/\text{d}$)の領域に達する事もある。

Fig. 3に、太陽光に関するプランクトンの相互干渉を考慮したケースの計算結果を示した。相互干渉がない場合の複雑な状況に至るまでにプランクトン濃度が頭打ちになり、その後は定常状態を保つ。

これら2つのケースに対し、栄養源供給速度をパラメーターとして、シミュレートした結果をFig. 4に示した。所要原単位は太陽光に関する相互干渉を考慮しない仮想的なケースでは、スラグ供給速度の増加により、増殖が進行す

Table 1. Chemical compositions of steelmaking Slag.

Components	C a O	S i O ₂	P 2 O 5	F e O
weight%	4 5 wt%	1 5 wt%	5 wt%	1 7 wt%

Table 2. Assumptions of study (1).

Objects of Transportation	
• Specific weight of transported material=	1. 0 g/cm ³
• Particle size of Slag ; Mean size of low material=	5 mm φ
• Scattering time=2hrs, 3 days	
• Ship capacity=	5 0 0 0 t / ship
• Mean transportation rate=	1.2 knot
• Loading condition ; Bucket type	
• Loading rate=	4 0 0 0 t / day

る分低減し、光合成による上限値で頭打ちが生ずる以降は、逆に増加する。ここで、有効反応深さについては、実態調査を待つべきところであるが仮定として10mおよび100mの2つの数値を用いて試算した。一方、太陽光に関するプランクトンの相互干渉を考慮したケースでは、短期間で相互干渉を起こす時期に達するため、プランクトンが減少し

Table 3. Assumptions of study (2).

Item1	Item2	Conditions	Note
Pretreatment	Grinding cost	Crush energy = $K/\sqrt{(D_f/D_i)}$ Di : mean diameter before Df : mean diameter after	Bond's law
	Specific controll	Energy=600Mcal	
	Strength controll	Binder cost	(maker hearing)
Land transportation	Transportation cost	Specific Weight= 1	
	Loading cost	"	
Sea transportation	Go	Calculated on the condition 12 knot	Actual results of 4 0 0 0 t class ship
	Scattering	Calculation from required time	"
	Return	Calculated on the condition 12 knot	"

Table 4. Case of total cost calculations.

Case	Method	Cost calculation item	Size
1	Hollow nodule	Utility only	- 1 mm
2	Hollow nodule	Utility & binder	- 1 mm
3	Fine grinding	Grinding cost	- 0. 0 5 mm

Table 5. Case of scattering time 3 d.

Scattering time=3 Days	Transportation distance				km/sea miles	1.852
	100km	200km	300km	400km		
1. Conditions						
Distance sea miles	54.00	107.99	161.99	215.98		
Loading t/voyage	4000	4000	4000	4000		
Rate (loading) knot	12	12	12	12		
Rate knot	12	12	12	12		
2. Cycle time						
Loading Hr	10.0	10.0	10.0	10.0	t/Hr	400
Shipping Hr	4.5	9.0	13.5	18.0		
Scattering Hr	72.0	72.0	72.0	72.0		
Shipping(return) Hr	4.5	9.0	13.5	18.0		
Total Hr	91.0	100.0	109.0	118.0		
3. Cost calculation						
Total k¥/M	34657	34681	34701	34718		
Shipping cost ¥/t	1200	1320	1440	1560		

Table 6. Case of scattering time 2 h.

Scattering time=2 hours	Transportation distance				km/sea mile	1.852
	100km	200km	300km	400km		
1. Conditions						
Distance sea miles	54.00	107.99	161.99	215.98		
Loading t/voyage	4000	4000	4000	4000		
Rate (loading) knot	12	12	12	12		
Rate (empty) knot	12	12	12	12		
2. Cycle time						
Loading Hr	10.0	10.0	10.0	10.0	t/Hr	400
Shipping Hr	4.5	9.0	13.5	18.0		
Scattering Hr	2.0	2.0	2.0	2.0		
Shipping(return) Hr	4.5	9.0	13.5	18.0		
Total Hr	21.0	30.0	39.0	48.0		
3. Cost calculation						
Total k¥/M	34657	34681	34701	34718		
Shipping cost ¥/t	280	400	510	630		

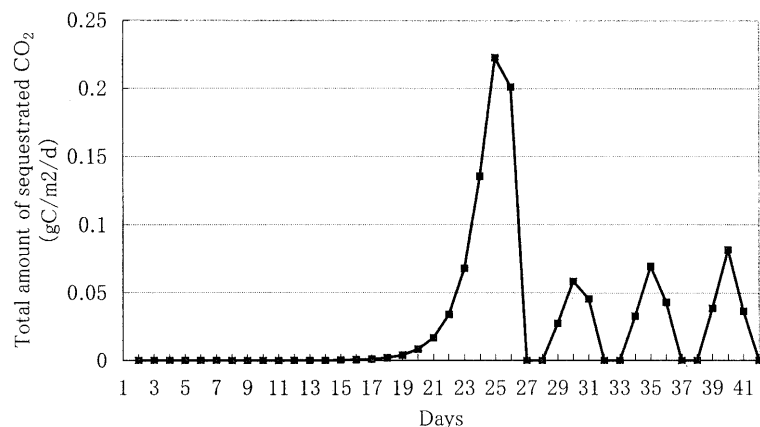
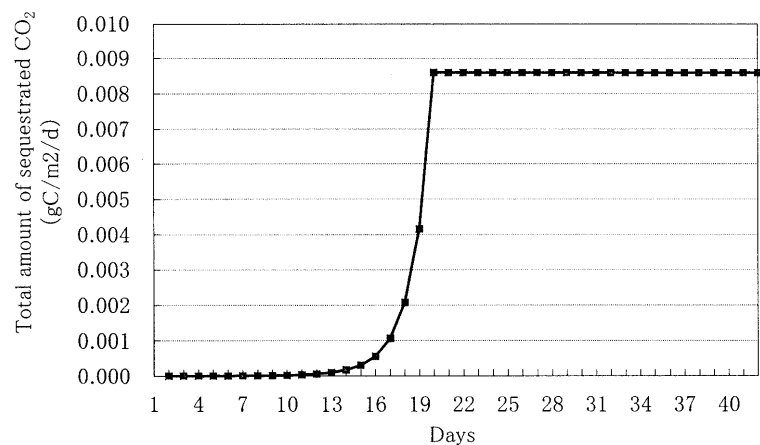
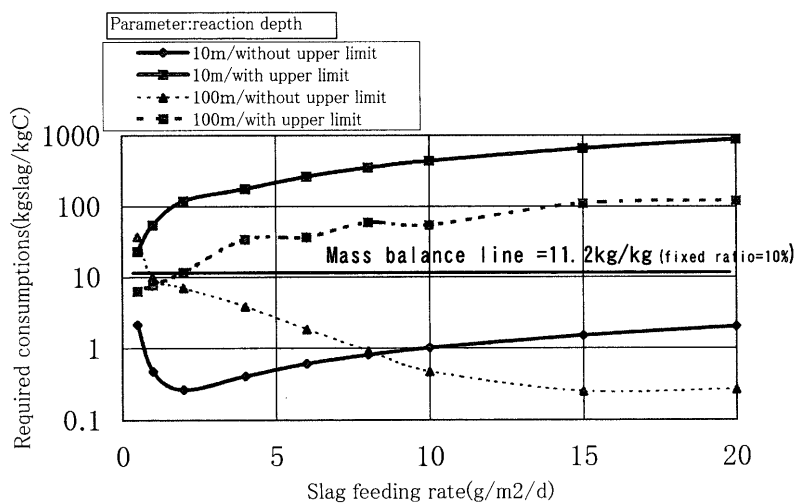
Fig. 2. Total amount of sequestered CO_2 /in case of interaction of planktons free.Fig. 3. Total amount of sequestered CO_2 /in case of interaction of planktonons.

Fig. 4. Required slag consumptions against slag feeding rate/in case of neck of phosphorus.

供給した栄養源が有効に利用できなくなる。そのため投入した栄養源に無駄が生じ、スラグ供給速度の上昇で所要原単位は悪化する。所要原単位は本来、Redfield's ratioで規定されるマスバランスで規程されるものであるため、一定

であるが、上記計算から、スラグの供給速度には太陽光に関するプランクトンの相互干渉を考慮したケースのシミュレーション線と、マスバランス線の交点に対応する適正投入速度の存在が考えられる。

Table 7. Case of Si neck.

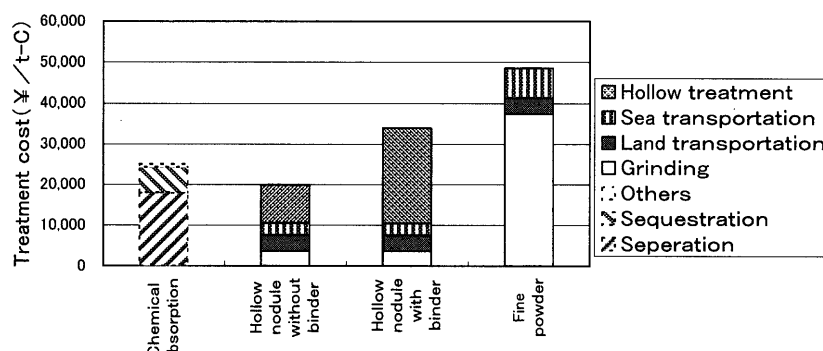
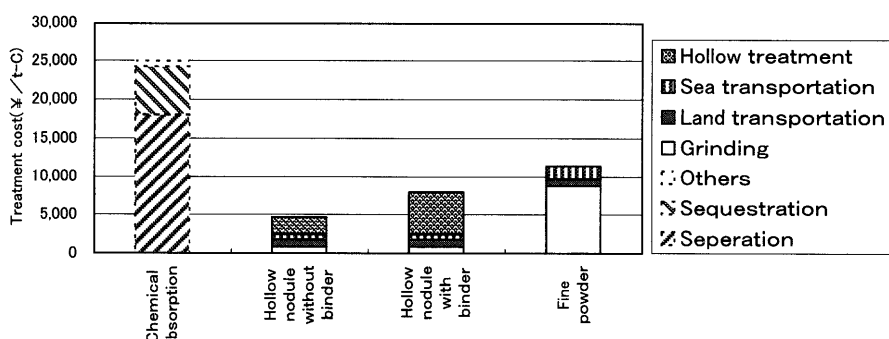
Slag consumption=4700kg/tC

Type Scattering time Size	Case1 Hollow nodule 2hours -1mm		Case2 Hollow nodule 2hours -1mm		Case3 Fine powder 3 days -0.05mm	
	¥/Tslag	¥/T·C	¥/Tslag	¥/T·C	¥/Tslag	¥/T·C
Grinding	800	3800	800	3800	8000	37600
Land transportation	800	3800	800	3800	800	3800
Sea transportation	630	3000	630	3000	1560	7300
Hollow treatment	2000	9400	5000	23500	0	0
Total		20000		34100		48700

Table 8. Case of P neck.

Slag consumption=1100kg/tC

Type Scattering time Size	Case1 Hollow nodule 2hours -1mm		Case2 Hollow nodule 2hours -1mm		Case3 Fine powder 3 days -0.05mm	
	¥/Tslag	¥/T·C	¥/Tslag	¥/T·C	¥/Tslag	¥/T·C
Grinding	800	880	800	880	8000	8800
Land transportation	800	880	800	880	800	880
Sea transportation	630	693	630	700	1560	1700
Hollow treatment	2000	2200	5000	5500	0	0
Total		4700		8000		11400

Fig. 5. CO₂ sequestration cost; in case of neck of Si/fixed ratio=100%.Fig. 6. CO₂ sequestration cost; in case of neck of P/fixed ratio=100%.

3・2 最適栄養源供給を支配する経済性指標

3・2・1 海上輸送について

変動要素の大きい海上輸送について具体例で記述する。

Table 5, 6 に示されるごとく輸送費用は投入時間の影響を大きく受ける。

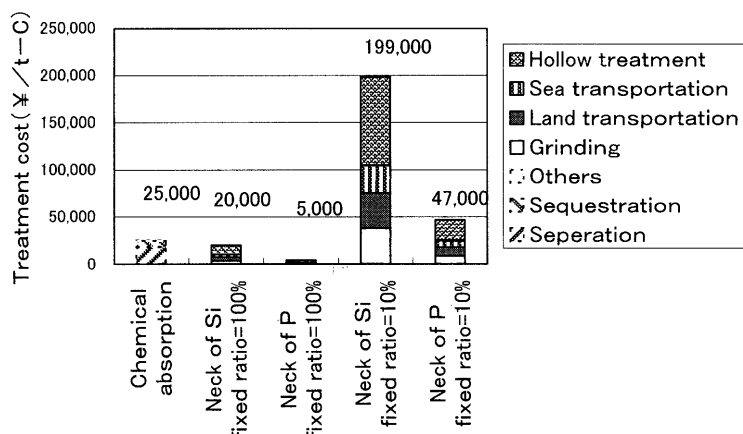
3・2・2 総合コストについて

Table 2-6 で示した各条件に対して算出した総合コストに

ついて、Si と P の供給が律速となる場合の結果について Table 7, 8 に示した。

3・2・3 他方式との比較

CO₂ 固定率を 100% で考えた場合の CO₂ 固定化費用⁵⁾を、スラグ散布方式と吸着固定方式と比較した結果を Fig. 5, 6 に示す。Fig. 5 に示した様に Si 供給がネックの場合において、スラグ散布方式が化学吸着法より安価に実施できる可

Fig. 7. CO₂ sequestration cost; in case of hollow nodule without binder.

能性がある。Fig. 6に示したP供給がネックの場合は、状況は更に改善される。ただし、Fig. 7に示すとく、CO₂固定率を10%とした場合、Siネック、Pネックの双方においてコストは化学吸着法を上回るため、CO₂の固定率を向上させる事が今後の重要な課題となる。

3・2・4 今後の実用化課題

上記対策を集約すると①栄養素連続供給方式としての経済性改善②固定率の改善に集約される。本検討は製鋼スラグを用いたプランクトン増殖に関する実用化に向けた可能性をマクロに検討したものであり、手法は極めてオーソドックスなものに限定して検討したが、ここで得られた着眼点を中心に、周辺新技術を取り込んだ更に効率の良い方法を探ってゆく事が今後の課題である。

4. 結言

一次反応モデルを用い、反応速度定数を用いて、プランクトンの増殖挙動をシミュレートした。

(1) スラグの供給速度には太陽光に関するプランクトンの相互干渉を考慮したケースのシミュレート線と、マスバランス線の交点に対応する適正投入速度の存在がある。

(2) 製鋼スラグの海中散布に関する費用概算の検討を

行い、以下の結論を得た。

- ① プランクトン増殖速度に対応したスラグの適正供給速度を決定するための実機条件を検討し、CO₂の固定率100%の条件では吸着固定化技術との比較においても、スラグ散布方式がより安価で実行できる可能性がある事が確認された。
- ② 今後は固定率の見極めや、要素技術の進展に併せて実用化課題の絞り込みが重要である。本結論を定量的に究めるためには、増殖特性、再分解特性に関しての更なる研究進捗に伴い、ロジスティックスに関する最適化研究もレベルアップしていく必要がある。

文 献

- 1) 日野光兀：第44・45回白石記念講座、日本鉄鋼協会、東京、(2001), 99.
- 2) 平成12年度製鋼スラグを用いた二酸化炭素の削減・固定化に関する調査報告書、日本機械工業連合会、日本鉄鋼連盟、東京、(2001).
- 3) 炭酸ガス対策の新展開、東レリサーチセンター、東京、(1993).
- 4) 製鋼スラグを栄養源として利用した海洋植物プランクトン増殖によるCO₂固定化研究会中間報告会、日本鉄鋼協会、東京、(2001).
- 5) 平成12年度二酸化炭素地中貯留技術研究開発成果報告書、新エネルギー・産業技術総合開発機構、東京、(2001), 216.